



اصلاح لایه به لایه سطح مزو حفره سیلیکای SBA-۱۵ به وسیله ترکیب پتاسیم مس هگزاسیانوفرات و بررسی رفتار جذب سزیم توسط آن

شبنم امین^۱، سیدابوالحسن علوی^۱، حسن یوسف نیا^۲، حسن آقابایان^{*}^۲

۱. دانشکده نفت و مهندسی شیمی، دانشگاه آزاد اسلامی واحد علوم و تحقیقات، صندوق پستی ۱۴۵۱۵-۷۷۵، تهران ایران

۲. پژوهشکده چرخه سوخت هسته‌ای، پژوهشگاه علوم و فنون هسته‌ای، سازمان انرژی اتمی ایران، صندوق پستی ۱۱۳۶۵-۸۴۸۶، تهران- ایران

*Email: haghayan@aeoi.org.ir

مقاله‌ی پژوهشی

تاریخ دریافت مقاله: ۱۴۰۰/۱/۲۸ | تاریخ پذیرش مقاله: ۱۴۰۰/۳/۲۹

چکیده

در این تحقیق، ابتدا سطوح مزو حفره سیلیسی کروی SBA-۱۵ با ترکیب پتاسیم مس هگزاسیانوفرات ($[KCu(Fe(CN)_6])$) اصلاح شد. سپس از آن به عنوان یک مبدل‌گر یونی نانوکامپوزیتی جدید، جهت جذب سزیم از محلول آبی مورد استفاده قرار گرفت. شناسایی ساختار نانوکامپوزیت سنتر شده با تکنیک‌های میکروسکوپ الکترونی روبشی نشر میدانی (FESEM)، پراش پرتو ایکس (XRD)، جذب و اجاد بنتروزون (BET) و طیفسنجی مادون قرمز (IR) مورد ارزیابی قرار گرفت. اثر پارامترهای pH، زمان تماس و غلظت بر میزان جذب مورد مطالعه قرار گرفت. داده‌های غلظت تعادلی با مدل‌های لانگمویر، فروندلیچ و تمکین بررسی شد. نتایج ارزیابی‌ها مطابقت خوبی با مدل لانگمویر داشت که نشان می‌داد فرایند جذب یون‌های سزیم به صورت تک لایه است. همچنین مدل شبه مرتبه دوم مدل مناسبی برای توصیف رفتار سینتیکی جذب سزیم بود. بیشینه ظرفیت جذب تعادلی برای این نانوکامپوزیت ۴۶/۴ میلی‌گرم بر گرم نانوکامپوزیت به دست آمد.

کلیدواژه‌ها: سزیم، هگزاسیانوفرات، SBA-۱۵ کروی

Layer by layer modification of mesoporous silica surfaces with potassium copper hexacyanoferate compound and its cesium ion adsorption behavior

Sh. Amin¹, S.A. Alavi¹, H. Yousefnia², H. Aghayan^{*2}

1. Faculty of Oil and Chemical Engineering, Science and Research Branch, Islamic Azad University, P.O. Box: 14515-775, Tehran, Iran
2. Nuclear Fuel Cycle Research School, Nuclear Science and Technology Research Institute, AEOI, P.O.Box:11365-8486, Tehran-Iran

Research Article

Received 17.4.2021, Accepted 19.6.2021

Abstract

In this work, the surfaces of spherical mesoporous silica were modified with potassium copper hexacyanoferate ($[KCu(Fe(CN)_6])$), then employed as a new ion exchanger nanocomposite to adsorb cesium ion from an aqueous solution. The materials have been characterized by Field Emission Scanning Electron Microscopy (FESEM), X-ray diffraction (XRD), N_2 adsorption-desorption isotherms (BET), and FTIR spectroscopy. The effect of contact time, pH, and initial concentration of the solution on adsorption efficiency were studied. Langmuir, Freundlich, and Tempkin's isotherm models analyzed the equilibrium concentration data. The data was in good agreement with the Langmuir model showing cesium adsorption process was a monolayer. The pseudo-second-order model was adequate to describe cesium uptake kinetic behavior, and the maximum equilibrium adsorption capacity for the nanocomposite was 46/4 (mg/g).

Keywords: Cesium, Hexacyanoferate, Spherical SBA-15



ترکیب‌هایی بر مبنی هگزاسیانوفرات‌ها به عنوان جاذب اختصاصی سزیم شناخته شده‌اند و بازدهی ۹۹/۹ درصد در حذف سزیم از آب و پساب از خود نشان دادند، ظرفیت بالای ذخیره‌سازی کاتیون در این ترکیبات و انتخاب‌پذیری در تبادل یون، توجهات زیادی را به خود جلب نموده است [۱۵]. از این گروه، جاذب‌های پتاسیم فلز (M) هگزاسیانوفرات [M=Co,Cu,Ni,Zn] (KM(Fe(CN)_۶)_۶) به دلیل انتخاب پذیری و ظرفیت جذب رضایت‌بخش، بیشتر استفاده شده‌اند [۲۵، ۲۶]. با این حال استفاده از این جاذب‌ها به دلایل معایبی چون پایداری مکانیکی نامناسب و سطح ویژه پایین، محدود می‌شوند [۲۶-۲۹]. برای غلبه بر این مشکل یک راه حل می‌تواند ثبت آن‌ها در یک بستر با مساحت سطحی بالا باشد به شرط آن‌که فعالیت شیمیایی آن را تغییر ندهد. بنابراین سنتز یک نانو کامپوزیت متشکل از ترکیبات [KCu(Fe(CN)_۶)_۶] و SBA-15 کروی، برای بهره‌مندی از مزایای منحصر به فرد هریک (انتخاب‌پذیری هگزاسیانوفرات‌ها و مساحت سطحی بالای مزوحفره‌ها) سودمند به نظر می‌رسد. در مطالعه‌ای که توسط فقیهیان و محمدی [۳۰] انجام شده است، نانوکامپوزیتی متشکل از [KCu(Fe(CN)_۶)_۶] و SBA-15 فیری سنتز شده است. در این مطالعه ثبت جاذب [KCu(Fe(CN)_۶)_۶] بر روی پایه SBA-15 به صورت تک لایه انجام شده است.

هدف از تحقیق حاضر سنتز ساختار کروی SBA-15 به عنوان پایه و بارگذاری ترکیب پتاسیم مس هگزاسیانوفرات بر سطوح آن، به صورت چند لایه تا حصول لایه بهینه می‌باشد. شناسایی نانوکامپوزیت سنتز شده و بررسی رفتار جذبی یون سزیم توسط آن، تحت شرایط مختلف عملیاتی بخش‌های دیگر تحقیق حاضر هستند. پیش‌بینی می‌شود ساختار کروی و ثبت لایه به لایه جاذب [KCu(Fe(CN)_۶)_۶] بر روی پایه SBA-15 کروی، نقش مؤثری در افزایش بازدهی جذب سزیم از محلول‌های آبی داشته باشد.

۲ مواد و روش‌ها

۱.۲ مواد و دستگاه‌های مورد استفاده

مواد شیمیایی مورد استفاده در این تحقیق، ستیل تری متیل آمونیم بروماید (Br[N(CH_۳)_۳]_۴), پلورونیک P_{۱۲۳}, HO(CH_۲CH_۲O)_۷, (CH_۲CH(CH_۲)O)_۷, (CH_۲CH_۲O)_۷, تترا اتیل اورتو سیلیکات (Si(O_۴H_۵O)_۴), هیدروکلریک اسید (HCl), نیترات مس سه آبه (Cu(NO_۳)_۲.۳H_۲O), پتاسیم هگزاسیانوفرات سه آبه (K₄(Fe(CN)_۶)_۶.۲H_۲O) و سزیم نیترات (CsNO_۳) می‌باشند که با خلوص شیمیایی بالای ۹۹٪ از شرکت مرک خریداری شده‌اند.

۱. مقدمه

Cs_{۱۳۷} یکی از محصولات جانبی حاصل از فرایند شکافت اورانیم و با نیمه‌عمر حدود ۳۰ سال است که وارد آب رآکتور می‌شود [۱-۴]. این یون‌ها بعد از عبور نظر بعد از مدتی اشباع شده و حذف می‌شوند. رزین‌های مورد نظر بعد از مدتی اشباع شده و نیاز به احیای مجدد دارند. احیای رزین باعث آزادسازی یون‌ها از جمله سزیم از روی رزین به داخل محلول شوینده می‌شود. بسیار از یون‌های آزاد شده به وسیله عمل ترسیب از محلول شستشو حذف می‌شوند ولی سزیم در محلول باقی می‌ماند. عملیات تبخیر برای جدا کردن سزیم بسیار هزینه بردار بوده و رسوب نمک‌های فلزی در کف تبخیر‌کننده‌ها مشکلات بسیاری را ایجاد می‌کند. محلول شستشو در صورت رهاسازی باعث آلودگی محیط زیست (آب و خاک) می‌شود و از راه تنفس، خوردن و آشامیدن می‌تواند وارد بدن شود و چون از نظر شیمیایی بسیار شبیه عنصر پتاسیم است به راحتی می‌تواند از غشا سلولی عبور و در بافت‌های بدن تجمع کرده و باعث بروز برخی بیماری‌ها نظیر انواع سرطان‌ها و بیماری‌های خونی و نقص‌های مادرزادی شود [۵-۸]. بنابراین جداسازی سزیم حیاتی به نظر می‌رسد. برای این منظور مطالعات گوناگونی انجام شده و روش‌های مختلفی پیشنهاد شده است [۹-۱۲].

استفاده از ترکیبات مزوحفره و ترکیبات مزوحفره عامل‌دار شده با گروه‌های مختلف، برای رفع آلودگی‌های فلزات سنگین از آب‌ها و پساب‌های صنعتی بسیار مورد توجه واقع شده است [۱۳-۱۵]. مزوحفره‌ها گروهی از مواد نانو حفره با قطر ۲ تا ۵۰ نانومتر هستند که دارای ویژگی‌های مناسبی همچون مساحت سطح بالا می‌باشند [۱۶، ۱۷]. مزوحفره سیلیسی SBA-15 که ابتدا در سال ۱۹۹۸ برای نخستین بار ساخته شد به دلیل ویژگی‌هایی همچون قطر مناسب، مقاومت مکانیکی بالا و قطر دیواره ضخیم‌تر جذابیت زیادی پیدا کرد و برای کاربردهای مانند بستر کاتالیستی، حسگرها و جاذب‌ها بسیار مورد نظر قرار گرفت. در این زمینه ساختارهای مختلفی از SBA-15 چون پودرهای ریز، فیری، مسطح، کروی و ... سنتز و مشخصه‌یابی شده‌اند [۱۸-۲۱]. ساختار کروی آن به دلیل قابلیت دسترسی به خلل و فرج بزرگ‌تر و نفوذ مولکولی آرام، آن‌ها را برای استفاده در کارهای سنتونی و جداسازی جذاب‌تر کرده است [۲۲-۴۳]. هر چند سطوح این مزوحفره‌ها به دلیل حضور گروه‌های سیلانول (Si-OH) قابلیت جذب کاتیون‌های فلزی را دارد اما از طریق اصلاح شیمیایی سطح، می‌توان ظرفیت آن را به طور چشم‌گیری افزایش داد [۲۲-۲۴].



محلول نیترات مس جدا شده از رسوب برای استفاده در لایه های بعدی نگهداری شد. سپس ۱ گرم از ماده به دست آمده در ۶۰ میلی لیتر محلول ۱ مولار پتاسیم هگزاسیانوفرات سه آبه به مدت ۳ ساعت همزده شد. سپس رسوب به دست آمده از محلول جدا و شستشو شد و به مدت ۳ ساعت در آون و در دمای 100°C قرار گرفت تا خشک شد. بدین ترتیب یک لایه از ترکیب $[\text{KCu}(\text{Fe}(\text{CN}))_6]$ بر روی پایه سیلیسی بارگذاری شد. محلول پتاسیم هگزاسیانوفرات جدا شده از رسوب برای استفاده در لایه های بعدی نگهداری شد.

برای مقایسه اثر مورفولوژی پایه بر راندمان جذب سزیم آزمایشات جذب با 0.05 g از نانو کامپوزیت های سنتز شده با مورفولوژی های کروی و فیبری، در $\text{pH}=7$ با غلظت اولیه محلول سزیم برابر با 100 ppm در دمای محیط و به مدت ۲۴ ساعت انجام شد. نتایج در جدول ۱ درج شده است.

همان گونه که در جدول ۲ مشاهده می شود مورفولوژی کروی پایه نسبت به مورفولوژی فیبری در حدود 30% جذب بیشتری دارد که دلیل آن می تواند کوتاه تر بودن طول کانال ها در مورفولوژی کروی و انتقال جرم مطلوب تر باشد [۲۱].

به منظور حصول بیشینه مقدار جذب سزیم و بهینه مقدار بارگذاری ترکیب $[\text{KCu}(\text{Fe}(\text{CN}))_6]$ بر روی پایه مزوحفه کروی SBA-۱۵ بارگذاری $[\text{KCu}(\text{Fe}(\text{CN}))_6]$ به صورت لایه به لایه و طی ۵ مرحله به روشنی که توضیح داده شد صورت گرفت. لایه بهینه برای این ترکیب، لایه ۴ بود زیرا با افزایش این ترکیب، میزان جذب افزایش نیافت. آزمایشات جذب با 0.05 g از نانو کامپوزیت سنتز شده در $\text{pH}=7$ ، غلظت اولیه محلول سزیم برابر با 100 ppm در دمای محیط و مدت زمان ۲۴ ساعت انجام شد. نتایج در جدول ۲ درج شده است.

جدول ۱. تأثیر مورفولوژی مزوحفه SBA-۱۵ بر راندمان جذب سزیم

پایه های سنتز شده	جذب (%)
SBA-۱۵ کروی	۳۰
SBA-۱۵ فیبری	۲۰.۵

جدول ۲. تأثیر دفعات بارگذاری ترکیب $[\text{KCu}(\text{Fe}(\text{CN}))_6]$ بر روی سطوح مزوحفه کروی SBA-۱۵ بر راندمان جذب سزیم

تعداد دفعات بارگذاری	جذب (%)
۱	۳۰
۲	۴۴
۳	۵۶
۴	۶۷
۵	۶۵

برای اندازه گیری کمی سزیم از طیفسنج جذب اتمی پرکین المر مدل ۸۴۳ استفاده شده است. برای تهیه الگوهای پراش پرتو ایکس زاویه بزرگ از نمونه های نانو کامپوزیت سنتز شده از دستگاه فیلیپس مدل PW11۳۰/۹۰ و برای زاویه کوچک از دستگاه فیلیپس مدل PW1۷۳۰ استفاده شد. طیفسنجی تبدیل فوریه زیر قرمز با تهیه ای قرص پتاسیم برومید و با استفاده از طیفسنج مدل ۲۲ Brucher vector-۲۲ عدد موج 400 cm^{-1} تا 4000 cm^{-1} به انجام رسید. همچنین هم دماهای جذب و واجذب نیتروژن با استفاده از دستگاه BET مدل Quantachrome NOVA ۲۲۰۰ e شکل ظاهری و مورفولوژی ترکیبات، توسط میکروسکوپ الکترونی روشی نشر میدانی تسکان مدل MIRA III تعیین شد.

۲.۲ سنتز مزوحفه کروی

برای سنتز مزوحفه کروی SBA-۱۵ [۲۴]، ابتدا 0.5 g از ترکیب ستیل تری متیل آمونیم بروماید با 60 میلی لیتر هیدروکلریک اسید ۲ مولار و 15 میلی لیتر آب مقطر مخلوط و تا انحلال کامل سورفکتانت همزده شد. سپس و در حین همزدن، 2 g از سورفکتانت P_{۱۲۳} به محلول فوق اضافه شد. پس از آن که مخلوط کاملاً همگن شد منبع سیلیسی تترا اتیل ارتوسیلیکات به آهستگی به آن اضافه و به مدت ۲۴ ساعت در دمای 40°C همزده شد. سپس مخلوط به اتوکلاو منتقل و به مدت ۲۴ ساعت در آون و در دمای 100°C قرار گرفت. ماده جامد سفید رنگ حاصل پس از فیلتر شدن و شستشو با آب مقطر در آون خشک شد. در انتهای با قرار دادن ماده جامد درون کوره ای با دمای 550°C قالب سورفکتانی با استفاده از فرایند تکلیس در مدت ۶ ساعت در هوا سوخته و حذف شد. نرخ افزایش دما $1^{\circ}\text{C}/\text{min}$ در نظر گرفته شد.

به منظور مقایسه و تأثیر مورفولوژی کروی با مورفولوژی فیبری SBA-۱۵ در راندمان جذب سزیم، سنتز نوع فیبری SBA-۱۵ مطابق نوع کروی و بدون ترکیب ستیل تری متیل آمونیم بروماید صورت گرفت [۲۴].

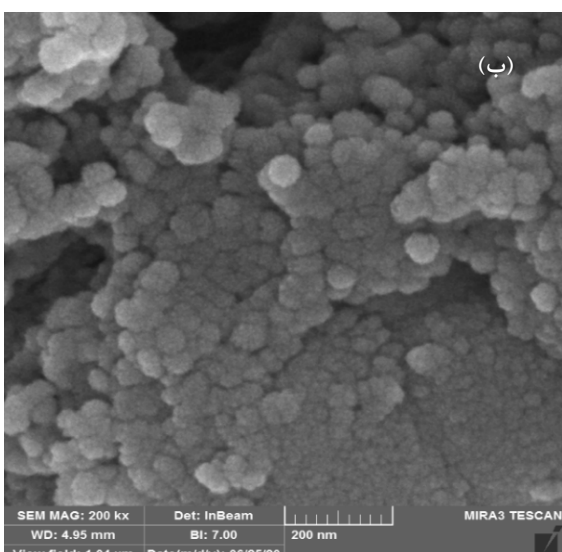
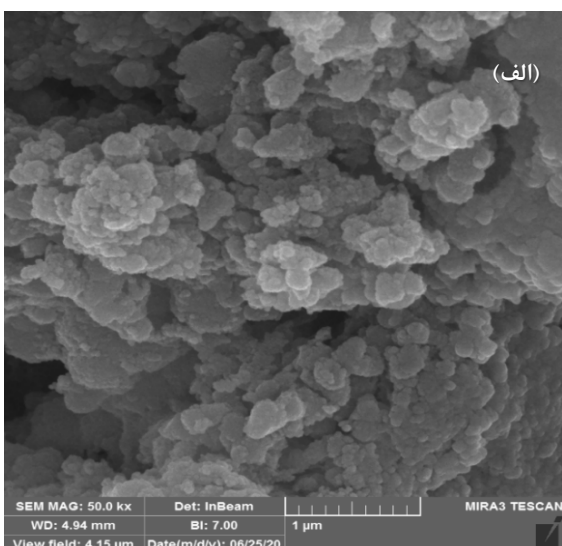
۳.۲ سنتز نانو کامپوزیت $[\text{KCu}(\text{Fe}(\text{CN}))_6]$ -SBA-۱۵

ترکیب $[\text{KCu}(\text{Fe}(\text{CN}))_6]$ بر روی مزوحفه نوع فیبری و کروی SBA-۱۵ به صورت زیر ثابت شد. ابتدا 1 g از مزوحفه SBA-۱۵ در 60 میلی لیتر محلول ۱ مولار نیترات مس سه آبه به مدت ۳ ساعت همزده شد. سپس رسوب به دست آمده از محلول جدا و شستشو شد و به مدت ۳ ساعت در آون و در دمای 100°C قرار گرفت تا خشک شد. همچنین



تصویرهای FESEM این ترکیب را با دو بزرگنمایی مختلف نشان می‌دهد. همان‌طور که مشاهده می‌شود ساختار کروی و توزیع اندازه ذرات تقریباً یکنواخت است.

شکل ۲ طیف تبدیل فوریه زیر قرمز ترکیب‌های SBA-۱۵ و [KCu(Fe(CN)_۶)] (SBA-۱۵) را نشان می‌دهد. برای مزوحفره کروی SBA-۱۵ طیف جذبی Si-O-Si در ۴۵۷ cm^{-۱} و ۸۰۶ cm^{-۱} و ۱۰۸۰ cm^{-۱} مشاهده می‌شود که به ترتیب مربوط به ارتعاشات خمسمی، متقارن کششی و نامتقارن کششی آن می‌باشدند. طیف جذبی در ۹۵۸ cm^{-۱} متعلق به ارتعاشات کششی Si-OH می‌باشد. طیف جذبی در ۱۶۳۲ cm^{-۱} هم نشان‌دهنده ارتعاشات خمسمی O-H می‌باشد.



شکل ۱. (الف و ب) تصویر FESEM از مزوحفره کروی SBA-۱۵ با دو بزرگنمایی.

۳. آزمایشات جذب سزیم

براساس نتایج جدول‌های ۱ و ۲، نانوکامپوزیت مورد استفاده برای انجام آزمایشات جذب، از بارگذاری ترکیب [KCu(Fe(CN)_۶)] به صورت لایه به لایه و طی ۴ مرحله بر پایه SBA-۱۵ کروی تهیه شد. آزمایشات جذب با ۰.۰۵ گرم از نانوکامپوزیت به همراه ۲۰ میلی‌لیتر از محلول حاوی یون‌های سزیم انجام شد. برای بررسی اثر pH یک سری آزمایش pH های مختلف (۱۱-۱۳) ترتیب داده شد. برای تنظیم pH از اسید نیتریک و سدیم هیدروکسید استفاده شد. برای به دست آوردن زمان تعادل و سینتیک فرایند جذب، یک سری آزمایش در pH بهینه و دمای محیط در بازه‌های زمانی مشخص در pH (۰.۵-۲.۴h) ترتیب داده شد. برای بررسی اثر غلظت نیز آزمایشاتی در محدوده غلظتی (۵۰۰-۱۰۰۰ ppm)، pH بهینه و زمان تعادل به دست آمده، صورت گرفت. محلول‌ها به ظروف پلی‌اتیلنی منتقل و در شیکر هم‌زد شدند. سپس نمونه‌ها فیلتر شده و غلظت یون سزیم قبل و بعد از هر آزمایش توسط دستگاه جذب اتمی اندازه‌گیری شدند. به منظور محاسبه درصد جذب فلزات سنگین توسط جاذب از رابطه (۱) استفاده شد.

$$R = \frac{C_0 - C_t}{C_0} \times 100 \quad (1)$$

که در این رابطه R درصد جذب سزیم، C_0 غلظت اولیه سزیم بر حسب میلی‌گرم در لیتر، C_t غلظت سزیم در زمان‌های نمونه برداری t و بر حسب میلی‌گرم در لیتر است. همچنین میزان جذب در زمان تعادل (ظرفیت جذب تعادلی) از رابطه ۲ محاسبه شد.

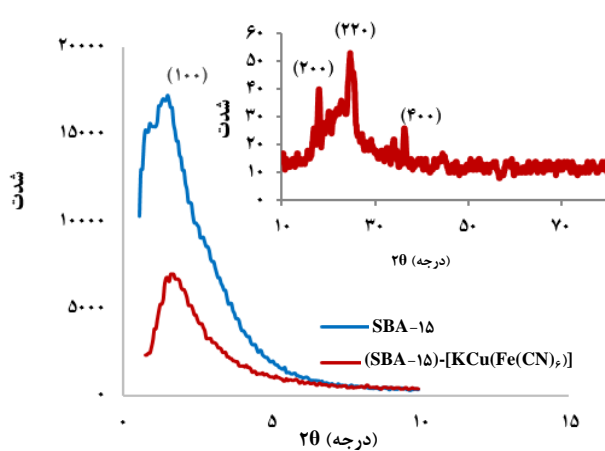
$$q_e = \frac{(C_0 - C_e)V}{W} \quad (2)$$

در این رابطه q_e ظرفیت جذب تعادلی بر حسب میلی‌گرم بر گرم، C_0 غلظت اولیه سزیم بر حسب میلی‌گرم در لیتر، C_e غلظت سزیم در زمان تعادل بر حسب میلی‌گرم در لیتر، V حجم محلول بر حسب میلی‌لیتر، W جرم جاذب بر حسب گرم است.

۴. نتایج و بحث

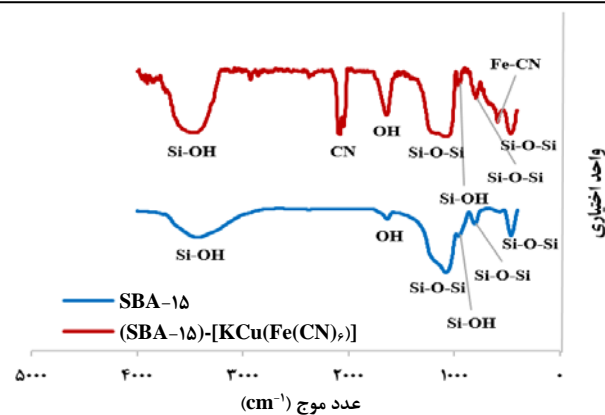
۱.۴ شناسایی‌های نانوکامپوزیت سنتز شده
کلیه شناسایی‌های انجام شده در این قسمت، براساس نانوکامپوزیت سنتز شده با ۴ مرحله بارگذاری می‌باشد. تکیک میکروسکپی الکترون روشنی نشر میدانی (FESEM) برای بررسی شکل ظاهری و توزیع اندازه ذرات مزوحفره کروی SBA-۱۵ مورد استفاده قرار گرفت. شکل ۱





شکل ۲. الگوی پراش پرتو ایکس زاویه کوچک برای ترکیبات SBA-۱۵ و (SBA-۱۵)-[KCu(Fe(CN)₆)]. نمودار همراه، الگوی پراش پرتو ایکس زاویه بزرگ نانوکامپوزیت [۶]-(SBA-۱۵)-[KCu(Fe(CN)₆)].

روش BET که مبتنی بر جذب و اجاد نیتروژن است برای اندازه‌گیری سطح ویژه، حجم و توزیع منافذ مورد استفاده قرار گرفت. شکل ۴، همدماهای جذب و اجاد نیتروژن و توزیع اندازه خلل و فرج مزوحفه کروی SBA-۱۵ قبل و بعد از بارگذاری [۶]-[KCu(Fe(CN)₆)] بر روی آن را نشان می‌دهد. همان‌طور که در شکل ۴ دیده می‌شود یک مرحله تراکم مویین در همدماهای جذب و اجاد نیتروژن با انجای زیاد در فشار نسبی بین ۰/۶ تا ۰/۷ وجود دارد که نشان‌دهنده مزوحفه‌های یک شکل است. این ویژگی با حضور یک حلقه پسماند نوع H₁ در این نمودار تأیید می‌شود. این مدل مطابق با طبقه‌بندی آیوپاک، با همدماهای نوع IV مطابقت دارد [۳۲]. در منحنی مربوط به [۶]-[KCu(Fe(CN)₆)] (SBA-۱۵) این حلقه به فشارهای نسبی پایین جایه‌جا شده و کاهشی را در مقدار نیتروژن جذب شده نشان می‌دهد که بیان‌کننده بارگذاری [۶]-[KCu(Fe(CN)₆)] در درون خلل و فرج مزوحفه کروی SBA-۱۵ است که باعث انسداد قسمتی از کانال‌های آن می‌شود. با استفاده از منحنی توزیع اندازه خلل و فرج در شکل ۴، می‌توان نتیجه گرفت که قطر خلل و فرج ترکیبات SBA-۱۵ nm ۲ nm تا ۱۵ nm در محدوده [۶]-[KCu(Fe(CN)₆)] (SBA-۱۵) قرار دارند. بنابراین براساس طبقه‌بندی آیوپاک دارای ساختار مزوحفه‌اند. بر پایه داده‌های به دست آمده از همدماهای جذب و اجاد نیتروژن و استفاده از معادله‌های BET و BJH، مساحت سطح ویژه، قطر خلل و فرج و حجم آن‌ها محاسبه و در جدول ۳ درج شده است. همان‌طور که مشخص است پارامترهای فیزیکی شامل مساحت سطح، حجم حفرات و قطر متوسط حفرات در نانو کامپوزیت سنتز شده بعد از تثبیت [۶]-[KCu(Fe(CN)₆)] بر روی SBA-۱۵ کاهش می‌یابد. این پدیده نشان می‌دهد که اشغال خلل و فرج مزوحفه کروی SBA-۱۵ توسط [۶]-[KCu(Fe(CN)₆)] با موفقیت انجام شده است.



شکل ۲. طیف تبدیل فوریه زیر قرمز برای ترکیبات SBA-۱۵ و (SBA-۱۵)-[KCu(Fe(CN)₆)].

طیف جذبی پهن هم در بازه ۳۰۰۰-۳۸۰۰ cm⁻¹ متعلق به ارتعاشات کشنشی گروه هیدروکسیل و سیلانول می‌باشد. در طیف نانوکامپوزیت [۶]-[KCu(Fe(CN)₆)] (SBA-۱۵) علاوه بر تمام طیفهای جذبی مزوحفه کروی SBA-۱۵ طیفهای جذبی ۴۶۲ cm⁻¹ و ۵۸۶ cm⁻¹ و ۲۰۷۱ cm⁻¹ مشاهده است که مطابق با مرجع [۳۱] و مربوط به ترکیب [KCu(Fe(CN)₆)] است. این طیفها به ترتیب مربوط به ارتعاشات کشنشی Fe-CN، Cu-CN و CN می‌باشد. این نتایج تأییدکننده بارگذاری موفقیت‌آمیز SBA-۱۵ [KCu(Fe(CN)₆)] بر سطوح مزوحفه کروی می‌باشد.

الگوهای پراش پرتو ایکس زاویه کوچک و بزرگ، برای ترکیبات SBA-۱۵ و [۶]-[KCu(Fe(CN)₆)] (SBA-۱۵)-[KCu(Fe(CN)₆)] در شکل ۳ نشان داده شده است. همان‌گونه که در الگوی پراش پرتو ایکس زاویه‌های کوچک مزوحفه کروی SBA-۱۵ مشاهده می‌شود، تشکیل ساختار مزوحفه شش وجهی SBA-۱۵ با یک پیک (۱۰۰) مشخص شده در محدوده زاویه‌های ۰/۸ تا ۰/۲ تأیید می‌شود که همین پیک با شدت ضعیفتر در الگوی پراش پرتو ایکس زاویه‌های کوچک، برای نانوکامپوزیت سنتز شده [۶]-[KCu(Fe(CN)₆)] (SBA-۱۵) قابل مشاهده است که نشان‌دهنده اشغال کانال‌های مزوحفه کروی SBA-۱۵ توسط ترکیب [KCu(Fe(CN)₆)] می‌باشد.

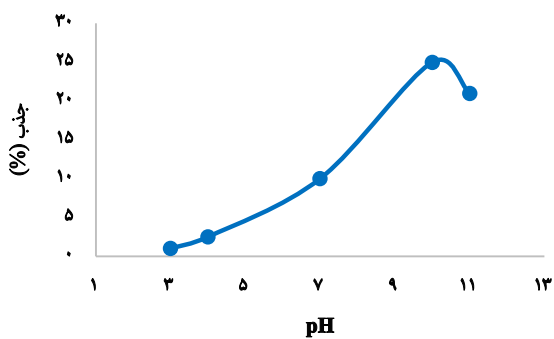
در الگوی پراش پرتو ایکس در زاویه‌های بزرگ نانوکامپوزیت [۶]-[KCu(Fe(CN)₆)] (SBA-۱۵)-[KCu(Fe(CN)₆)] پیک‌های مشخصه ترکیب [KCu(Fe(CN)₆)] (۲۰۰) و (۲۲۰) و (۴۰۰) با توجه به مرجع [۳۱] وجود دارند هرچند که در این تصویر خیلی واضح نمی‌باشند.



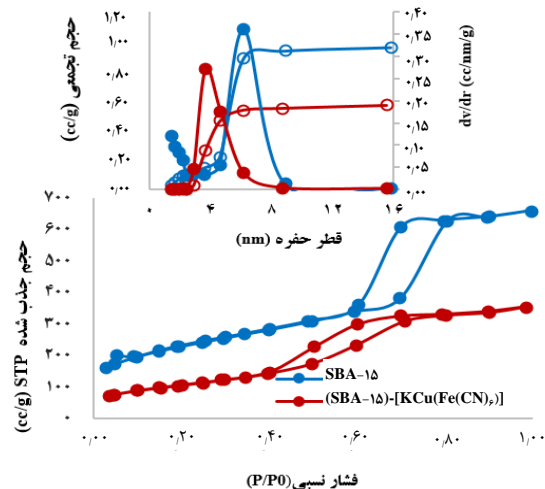
باشد. در pH های بسیار اسیدی حضور یون های هیدروژن در رقابت با یون های فلزی برای اشغال سایتهاهی جذبی قرار می گیرند و در نتیجه میزان جذب کاهش می یابد. کاهش جذب سزیم در pH های بالاتر از ۱۰ نیز می تواند به علت کمپلکس شدن کاتیون های فلزی با آنیون های هیدروکسیل موجود در محلول در این محدوده باشد. این کمپلکس شدن باعث تشکیل گونه های جدید از کاتیون های فلزی با فعالیت شیمیایی تا حدی کمتر از کاتیون های آزاد می شود که در نتیجه آن میزان جذب که در ارتباط با فعالیت شیمیایی گونه هاست کاهش می یابد.

۲.۲.۴ اثر زمان تماس بر جذب

شکل ۶ اثر زمان تماس بر میزان جذب در دمای محیط و pH بهینه را نشان می دهد. همان طور که انتظار می رود با افزایش زمان، ظرفیت جذب افزایش یافته و سپس با اشغال تمامی سایتهاهی فعال روی جاذب، سرعت جذب کاهش می یابد و فرایند جذب به تعادل می رسد. از نمودار شکل ۶ مشخص است که سینتیک جذب یون های سزیم از دو قسمت تشکیل شده است، یک قسمت با شیب تند و با سرعت جذب بالاتر و قسمت دیگر با شیب نزدیک به صفر و سرعت جذب آهسته تر. سرعت جذب بالاتر می تواند به علت خالی بودن سایتهاهی فعال در دسترس در سطح جاذب بوده و سرعت آهسته تر جذب هم می تواند به علت اشغال شدن سایتهاهی سطحی در دسترس و نفوذ یون ها در داخل کانالها و حفرات برای رسیدن به سایتهاهی فعال درونی تر باشد. با توجه به داده های شکل ۶ می توان نتیجه گیری کرد که جاذب بعد از گذشت حدوداً ۳/۵ ساعت اشباع شده و بعد از حدوداً ۲ ساعت ۹۰ درصد از ظرفیتش اشغال شده است.



شکل ۵. ارتباط بین pH محلول اولیه و میزان جذب یون سزیم توسط نانو کامپوزیت [SBA-15]-[KCu(Fe(CN)₆)]. (SBA-15)-[KCu(Fe(CN)₆)]= ۵۰۰ mg/L = غلظت اولیه محلول، ۲۵ °C = دما، ۲۴ h = زمان و ۰/۰۵ g = دز جاذب).



شکل ۴. ایزو ترم های جذب / واجذب نیتروژن برای ترکیبات SBA-115 و [SBA-15]-[KCu(Fe(CN)₆)]. نمودار همراه، توزیع اندازه ذرات (●) و حجم حفرات (○) ترکیبات SBA-15 و [SBA-15]-[KCu(Fe(CN)₆)]

جدول ۳. نتایج آنالیز BET/BJH برای ترکیبات SBA-15 و [SBA-15]-[KCu(Fe(CN)₆)]

قطر متوسط حفرات (nm)	حجم حفرات (cm³/g)	مساحت سطح (m²/g)
۶.۲	SBA-15	۸۰.۶
۴.۶	[SBA-15]-[KCu(Fe(CN)₆]	۴۶۱

۲.۴ بررسی متغیرهای تأثیرگذار بر جذب یون های سزیم در یک سیستم ناپیوسته میزان جذب یون های فلزی در محلول های آبی به متغیرهای فرایندی مانند pH، زمان تماس، غلظت محلول اولیه و ... بستگی دارد. در همین راستا رفتار جذبی یون سزیم در شرایط مختلف عملیاتی با استفاده از نانو کامپوزیت [SBA-15]-[KCu(Fe(CN)₆)] مورد بررسی و پارامترهای مذکور مورد ارزیابی قرار گرفتند.

۱۰.۴ اثر pH محلول اولیه

pH عامل مهمی در فرایندهای جذب سطحی می باشد زیرا بر برهمن کنش های بین جاذب و جذب شونده اثرگذار است. با تغییر pH اولیه محلول، اثر این پارامتر بر میزان جذب مورد بررسی قرار گرفت. همان گونه که در شکل ۵ مشاهده می شود با افزایش pH تا حوالی ۱۰، جذب یون های سزیم افزایش می یابد. علت آن می تواند افزایش بار منفی سطح جاذب باشد که به نوبه خود باعث ایجاد برهمن کنش های الکترواستاتیکی در سطح جاذب شده و نتیجه آن افزایش جذب یون های فلزی سزیم با بار مثبت

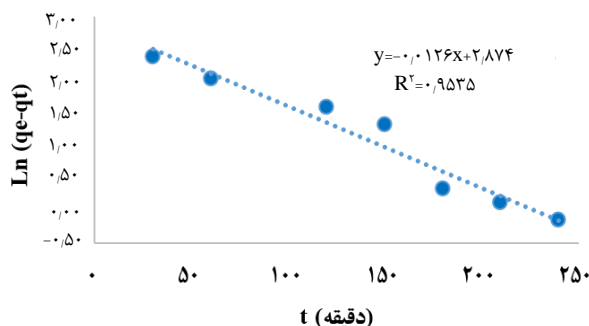


q_t (mgg⁻¹) ظرفیت جذب تعادلی جاذب و (q_e) (mgg⁻¹) ظرفیت جذب در زمان t می‌باشند. k_1 ثابت سرعت می‌باشد که از عرض از مبدأ نمودار $\frac{t}{q_t}$ در مقابل t به دست می‌آید.

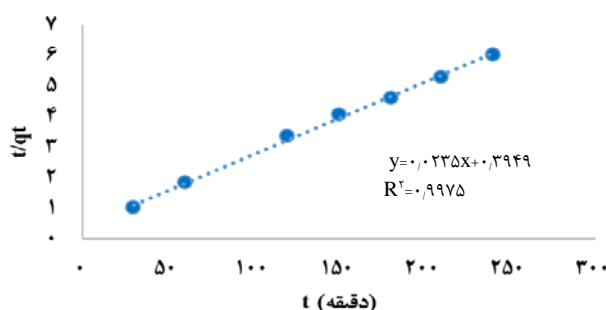
برای به دست آوردن ثابت‌های این مدل‌های ریاضی، نمودار خطی این معادله‌ها در شکل ۷ (مدل شبه مرتبه اول) و در شکل ۸ (مدل شبه مرتبه دوم) نشان داده شده است که از روی شیب و عرض از مبدأ آن‌ها، ثابت‌ها محاسبه و در جدول ۴ درج شده‌اند. همان‌طور که مشاهده می‌شود مقدار R^2 (ضریب همبستگی) به عنوان معیار برآش داده‌های جذب با مدل‌ها، مطالعه شد. مقدار ضریب همبستگی برای مدل سینتیک شبه مرتبه دوم در مقایسه با مدل سینتیک شبه مرتبه اول بالاتر بوده و داده‌ها به خوبی با این مدل برآش شده‌اند.

جدول ۴. پارامترهای سینتیکی به دست آمده با استفاده از مدل‌های سینتیکی شبه مرتبه اول و شبه مرتبه دوم برای جذب یون‌های سزیم توسط نانوکامپوزیت [SBA-۱۵]-[KCu(Fe(CN)_۶)]

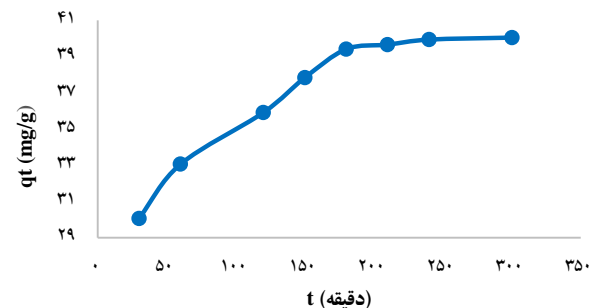
R^2	q_e^{exp}	q_e^{calc}	k_1	مدل
۰,۹۵۳۵	۴۰,۸	۱۷,۷	۰,۰۱۲	شبه مرتبه اول
۰,۹۹۷۵	۴۰,۸	۴۲,۶	۰,۰۰۱۴	شبه مرتبه دوم



شکل ۷. مدل سینتیکی شبه مرتبه اول برای جذب یون‌های سزیم توسط نانوکامپوزیت [SBA-۱۵]-[KCu(Fe(CN)_۶)].



شکل ۸. مدل سینتیکی شبه مرتبه دوم برای جذب یون‌های سزیم توسط نانوکامپوزیت [SBA-۱۵]-[KCu(Fe(CN)_۶)].



شکل ۶. اثر زمان تماس بر میزان جذب یون سزیم توسط نانوکامپوزیت [SBA-۱۵]-[KCu(Fe(CN)_۶)]. $R^2 = 0,9975$ ، t = زمان تماس (دقیقه)، q_t = دز جاذب (mg).

۱۰.۲.۰.۴ سینتیک جذب

مطالعه سینتیک جذب سطحی، اطلاعاتی درباره مسیر واکنش و مکانیسم واکنش‌های جذب سطحی و همچنین سرعت جذب در اختیار ما قرار می‌دهد [۳۳، ۳۴]. جذب و واجدب سطحی فرایندهایی وابسته به زمان هستند. به منظور طراحی و ارزیابی سیستم جذب سطحی، آگاهی از سرعت جذب و سرعت واجدب مورد نیاز است. برای توجیه مکانیسم برخی از فرایندهای جذب سطحی در حذف آلاینده‌ها از محیط، مدل‌های سینتیکی متعددی ارایه شده است. برای این منظور در این تحقیق دو مدل سینتیکی شبه مرتبه اول و شبه مرتبه دوم مورد استفاده قرار گرفته است.

معادله سرعت شبه مرتبه اول: اولین معادله سرعت برای جذب سطحی در سیستم جامد- مایع براساس ظرفیت جذب جاذب در سال ۱۸۹۸ توسط لاغرگرن به صورت معادله (۳) ارایه شد [۳۳، ۳۴]:

$$\ln(q_e - q_t) = \ln q_e - k_1 t \quad (3)$$

q_t (mgg⁻¹) ظرفیت جذب تعادلی جاذب و (q_e) (mgg⁻¹) ظرفیت جذب در زمان t می‌باشند. k_1 ثابت سرعت می‌باشد که از شیب نمودار $\ln(q_e - q_t)$ در مقابل t به دست می‌آید.

معادله سرعت شبه مرتبه دوم: این معادله سرعت در سال ۱۹۸۴ توسط بلانچارد به صورت تجربی برای فرایند تبدیل یون ارایه شد [۳۵]. سپس این معادله توسط هو و مک کی برای فرایند جذب سطحی به کار برده شد [۳۶]. معادله سرعت شبه مرتبه دوم به صورت معادله (۴) بیان می‌شود:

$$\frac{t}{q_t} = \frac{1}{k_1 g_e} + \frac{t}{q_e} \quad (4)$$



ایزوترم لانگمویر: در این مدل تجربی، فرض بر جذب سطحی تکلایه‌ای است به طوری که هیچ تعامل جانبی و ممانعت فضایی بین یون‌های جذب شده حتی در مکان‌های مجاور هم وجود ندارد. انتالپی و انرژی فعال‌سازی جذب سطحی برای هر یون ثابت است و هر جایگاه خالی می‌تواند تنها یک یون را در خود جا دهد. این ایزوترم نشان می‌دهد که مقدار ماده جذب شده با افزایش غلظت آن تا جایی که سطح نانوندره اشباع می‌شود افزایش می‌یابد. به عبارت دیگر تا زمانی که محل‌های در دسترس موجودند جذب سطحی با افزایش غلظت ماده جذب شونده، افزایش پیدا می‌کند اما زمانی که این مکان‌ها اشغال شدند، افزایش بیشتر غلظت موجب افزایش مقدار جذب بر روی جاذب نمی‌گردد.

عبارت خطی همدمای مدل لانگمویر چنین نشان داده می‌شود:

$$\frac{C_e}{q_e} = \frac{1}{q_m^b} + \frac{C_e}{q_m} \quad (5)$$

q_e (mgg⁻¹) ظرفیت جذب برای جاذب یون‌های سزیم و C_e (mgL⁻¹) غلظت تعادلی یون‌های سزیم در محلول می‌باشد. q_m ، ماکزیمم ظرفیت جذب جاذب و b ، ثابت جذب لانگمویر می‌باشد و به انرژی جذب مربوط می‌باشد. مقادیر q_m و b به ترتیب از روی شیب و عرض از مبدأ نمودار $\frac{C_e}{q_e}$ در مقابل C_e به دست می‌آیند.

ایزوترم فروندلیچ: این مدل تجربی برای مدل‌سازی جذب چند لایه‌ای بر روی سطوح ناهمگن یا سطوحی با جایگاه‌های فعال متفاوت از نظر واکنش و میل ترکیبی با جذب‌شونده به کار گرفته شده است. این مدل نشان می‌دهد که جایگاه‌های جذب به طور نمایی نسبت به قدرت پیوند (گرمای جذب) توزیع می‌شود و فرض می‌شود که ابتدا جایگاه‌های قوی‌تر پر می‌شوند و قدرت پیوند با افزایش اشغال جایگاه‌ها، کاهش می‌یابد. از این رو این مدل می‌تواند برای جذب‌های چند لایه به کار رود.

عبارت خطی همدمای مدل فروندلیچ چنین نشان داده می‌شود:

$$\log q_e = \log K_f + \frac{1}{n} \log C_e \quad (6)$$

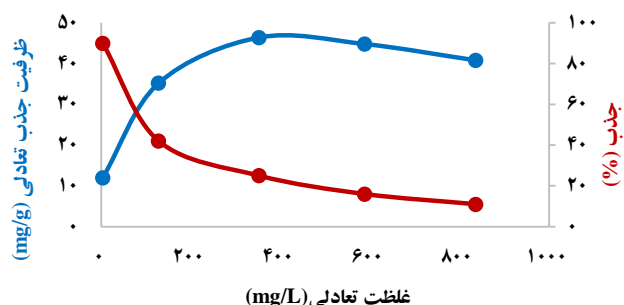
q_e (mgg⁻¹) ظرفیت جذب برای جاذب یون‌های سزیم و C_e (mgL⁻¹) غلظت تعادلی یون‌های سزیم در محلول می‌باشد. K_f ، ظرفیت جذب جاذب و n ، شدت جذب را نشان می‌باشد.

۳.۰.۴ اثر غلظت محلول اولیه

به منظور بررسی اثر غلظت اولیه محلول در جذب یون‌های سزیم به وسیله نانوکامپوزیت [KCu(Fe(CN)₆)-SBA-15] آزمایشات جذب در گستره غلظت ۵۰-۱۰۰۰ میلی گرم در لیتر در pH برابر ۱۰، مدت زمان ۳/۵ ساعت و دمای محیط انجام شده است. در شکل ۹ نمودار درصد جذب و ظرفیت جذب بر حسب غلظت تعادلی رسم شده است. با استفاده از این نمودارها می‌توان بیشینه ظرفیت جذب جاذب را به دست آورد. همچنان که مشاهده می‌شود مقدار سزیم جذب شده توسط نانوکامپوزیت، با افزایش غلظت اولیه یون‌های سزیم افزایش می‌یابد و جذب سزیم در غلظت تعادلی (mgL⁻¹) ۳۵۲ به بیشینه مقدار خود یعنی (mgg⁻¹) ۴۶/۸ می‌رسد. درصد جذب سزیم با افزایش غلظت سزیم کاهش می‌یابد. علت آن به ثابت بودن تعداد جایگاه‌های جذب فعال بر روی سطح جاذب و اشباع شدن جاذب ارتباط دارد.

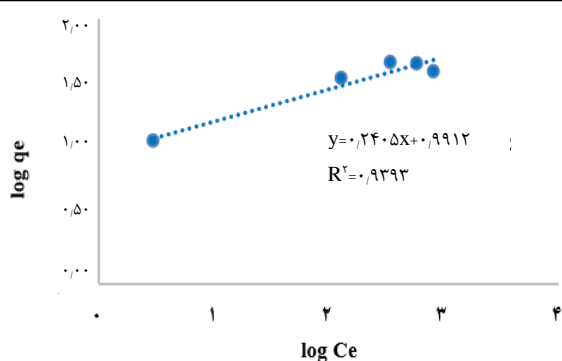
۱۰.۳.۰.۴ هم‌دهاهای جذب

داده‌های تعادلی جذب به دست آمده از آزمایشات، می‌تواند با انواع مختلفی از مدل‌های آماری هم‌دما برآش شوند. این مدل‌ها از ملزومات اساسی برای طراحی سیستم‌های جذب سطحی و برهمنکش‌های بین جاذب و جذب‌شونده هستند که معمولاً برای توصیف چگونگی توزیع ماده حل شده بین فاز آبی و جامد در غلظت‌های تعادلی مختلف به کار می‌روند. با برآش داده‌های تجربی با مدل‌های ریاضی سینتیک و هم‌دهاهای جذب، اطلاعات لازم در مورد قابلیت جذب جاذب (ظرفیت و زمان جذب) با استفاده از ثابت‌های استخراج شده از این مدل‌ها به دست می‌آید. در این تحقیق از هم‌دهاهای لانگمویر، فروندلیچ و تمکین [۳۲، ۳۳، ۳۴] جهت پیش‌بینی الگوی جذب استفاده شده است.

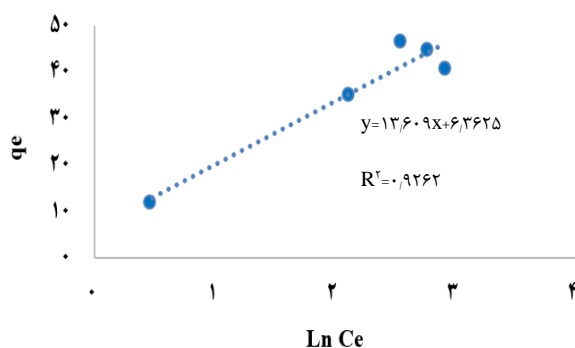


شکل ۹. نمودار درصد جذب و ظرفیت جذب یون‌های سزیم توسط نانوکامپوزیت [KCu(Fe(CN)₆)-SBA-15].





شکل ۱۱. نمودار خطی همدمای فروندلیج برای جذب یون‌های سزیم توسط نانوکامپوزیت $[\text{KCu}(\text{Fe}(\text{CN})_6)]$ (SBA-۱۵).



شکل ۱۲. نمودار خطی همدمای تمکین برای جذب یون‌های سزیم توسط نانوکامپوزیت $[\text{KCu}(\text{Fe}(\text{CN})_6)]$ (SBA-۱۵).

جدول ۵. ثابت‌های همدماهای لانگمویر، فروندلیج و تمکین برای جذب یون‌های سزیم توسط نانوکامپوزیت $[\text{KCu}(\text{Fe}(\text{CN})_6)]$ (SBA-۱۵).

R^2	پارامترهای مدل (واحد)	مدل
۰.۹۹۱۹	$q_m = ۴۲.۱۰ \text{ (mg/g)}$ $b = ۰.۸۱ \text{ (L/mg)}$	لانگمویر
۰.۹۳۹۳	$K_f = ۹.۸۰ \text{ (L/g)}$ $n = ۴.۱۶$	فروندلیج
۰.۹۲۶۲	$K_T = ۱.۶ \text{ (L/mg)}$ $b = ۳.۸ \text{ (J/mol)}$	تمکین

جدول ۶. مقایسه نسبی ظرفیت جذب جاذبهای مختلف در جذب سزیم

مرجع	حداکثر ظرفیت جذب (mg/g)	جاذب
[۳۸]	۱۷.۲۸	CoFC@silica-py
[۳۹]	۶۸.۷۱	M-PTH/SBA-۱۵
[۴۰]	۱۶.۲	PB-Fe _۳ O _۴
[۴۱]	۴۰.۷۷	PB/Fe _۳ O _۴
[۴۲]	۲۱.۷	FC-Cu-FDA-SAMMS
[۳۰]	۱۷۲.۴۱	KCuHex-SBA-۱۵
-	۴۶.۴	(SBA-۱۵)-[KCu(Fe(CN) ₆)]

می‌دهند. n و K_f به ترتیب از روی شیب و عرض از مبدأ نمودار

در مقابل $\log C_e$ به دست می‌آیند.

ایزوترم تمکین: در این مدل تجربی جذب به صورت چند لایه و برهمنش‌های ممکن بین جاذب و جذب‌شونده در نظر گرفته می‌شود و فرض می‌شود که با افزایش اشغال جایگاهها، جذب (گرمای جذب) به صورت لگاریتمی کاهش می‌یابد. مطالعات نشان می‌دهد که توانایی ایزوترم تمکین در پیش‌بینی فرایند جذب با افزایش غلظت ترکیبات در محلول، کاهش می‌یابد.

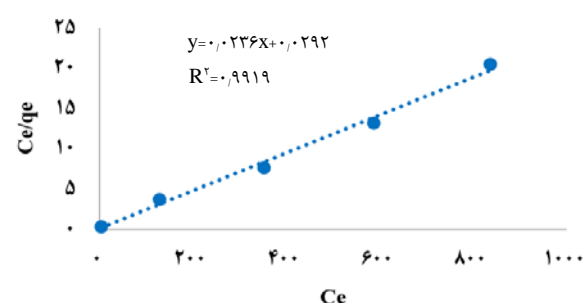
عبارت خطی همدمای مدل تمکین چنین نشان داده می‌شود:

$$q_e = \frac{RT}{b} \ln K_T + \frac{RT}{b} \ln C_e \quad (7)$$

q_e (mgg⁻¹) ظرفیت جذب تعادلی جاذب برای جذب یون‌های سزیم و C_e (mgL⁻¹) غلظت تعادلی یون‌های سزیم در محلول می‌باشند. K_T (Lmol⁻¹) ظرفیت جذب جاذب، b (Jmol⁻¹) ثابت تعادلی جذب، R (۸.۳۱۴ J mol^{-۱}K^{-۱}) ثابت جهانی گازها و T (K) دما. b و K_T به ترتیب از روی شیب و عرض از مبدأ نمودار q_e در مقابل $\ln C_e$ به دست می‌آیند.

برای به دست آوردن ثابت‌های این مدل‌های ریاضی، نمودار خطی این معادله‌ها در شکل ۱۰ (مدل لانگمویر)، در شکل ۱۱ (مدل فروندلیج) و در شکل ۱۲ (مدل تمکین) نشان داده شده است که از روی شیب و عرض از مبدأ آن‌ها، ثابت‌ها محاسبه و در جدول ۵ درج شده‌اند. همان‌طور که مشاهده می‌شود مقدار R^2 (ضریب همبستگی) به عنوان معیار برآذش داده‌های جذب با مدل‌ها در محدوده غلظتی مطالعه شده برای مدل لانگمویر بیشترین مقدار را دارد که نشان‌دهنده این است که این مدل مطابقت خوبی با داده‌های آزمایشگاهی دارد.

جدول ۶ مقایسه نسبی ظرفیت جذب جاذبهای مختلف در جذب سزیم مربوط به تحقیق حاضر و دیگر تحقیقات را نشان می‌دهد.



شکل ۱۰. نمودار خطی همدمای لانگمویر برای جذب یون‌های سزیم توسط نانوکامپوزیت $[\text{KCu}(\text{Fe}(\text{CN})_6)]$ (SBA-۱۵).



7. Y. Namiki, et al., *Inorganic magnetic nanocomposites for use in preventive medicine: A rapid and reliable elimination system for cesium*, *J. Pharmaceutical Research*, **29(5)**, 1404 (2012).
8. M. Abtahi, et al., *Removal of cesium through adsorption from aqueous solutions: a systematic review*, *J. Advances in Environmental Health Research*, **6(2)**, 96 (2018).
9. G.R. Chen, et al., *Prussian blue (PB) granules for cesium (Cs) removal from drinking water*, *J. Separation and Purification Technology*, **143**, 146 (2015).
10. Y. Okamura, et al., *Cesium removal in freshwater using potassium cobalt hexacyanoferrate-impregnated fibers*, *J. Radiation Physics and Chemistry*, **94(1)**, 119 (2014).
11. J. Jang, D.S. Lee, *Enhanced adsorption of cesium on PVA-alginate encapsulated Prussian bluegraphene oxide hydrogel beads in a fixed-bed column system*, *J. Bioresource Technology*, **218**, 294 (2016).
12. K. Vijayaraghavan, Y.S. Yun, *Bacterial biosorbents and biosorption*, *J. Biotechnology Advances*, **26(3)**, 266 (2008).
13. J.A.S. Costa, et al., *Synthesis, functionalization, and environmental application of silica-based mesoporous materials of the M41S and SBA-n families: A review*, *J. Journal of Environmental Chemical Engineering*, **9**, 105259 (2021).
14. Sh. Y, et al, *Recent advances of SBA-15-based composites as the heterogeneous catalysts in water decontamination: A mini-review*, *J. Journal of Environmental Management*, **254**, 109787 (2020).
15. E. Vunain, A.K. Mishra, B.B. Mamba, *Dendrimers, mesoporous silicas and chitosan-based nanosorbents for the removal of heavymetal ions: A Review*, *J. International Journal of Biological Macromolecules*, **86**, 570 (2016).
16. S. Santos, et al., *Synthesis and characterization of ordered mesoporous silica (SBA-15 and SBA-16) for adsorption of biomolecules*, *J. Microporous and Mesoporous Materials*, **180**, 284 (2013).
17. R. Narayan, *Mesoporous silica nanoparticles: a comprehensive review on synthesis and recent advances*, *J. Pharmaceutics*, **10**, 118 (2018).
18. X. Liu, et al, *Synthesis of large pore-diameter SBA-15 mesostructured spherical silica and its application in ultra-high-performance liquid chromatography*, *J. Journal of Chromatography A*, **1218**, 7767 (2009).
19. T. Yasmin, K. Muller, *Synthesis and characterization of surface modified SBA-15 silica materials and their application in chromatography*, *J. Journal of Chromatography A*, **1218**, 6464 (2011).
20. M. Wang, et al, *Study on adsorption mechanism of silicate adsorbents with different morphologies and pore structures towards formaldehyde in water*, *J. Colloids and Surfaces A*, **599**, 124887 (2020).
21. P.H.K. Charan, G.R. Rao, *Textural and morphological studies of transition metal doped SBA-15 by co-condensation method*, *J. Journal of Chemical Sciences*, **127(5)**, 909 (2015).

۵. نتیجه‌گیری

در این تحقیق یک نانوکامپوزیت جدید برای جذب سزیم از محلول‌های آبی سنتز و توسط آنالیزهای FT-IR, XRD شناسایی شد. آنالیزهای انجام شده نشان دادند که مزوحفه SBA-15 با ساختار کروی با موفقیت سنتز شده و عامل تعویض یونی $[KCu(Fe(CN)_6)]$ بر سطوح آن بارگذاری شده است. همچنین مشخص شد پارامترهای غلظت اولیه محلول، زمان تماس و pH نقش به سزاوی در جذب سزیم توسط نانوکامپوزیت $[KCu(Fe(CN)_6)]$ -[SBA-15] دارند. مدل همدما لانگمویر تطابق خوبی با داده‌های جذب داشت که نشان‌دهنده توزیع همگن جایگاه‌های فعال بر روی سطوح نانوکامپوزیت بود. بیشینه ظرفیت جذب تعادلی برای این نانوکامپوزیت $(46/4 \text{ mgg}^{-1})$ به دست آمد. همچنین رفتار سینتیکی جذب سزیم به خوبی با مدل شبه مرتبه دوم مطابقت داشت. از آن جایی که جاذب ساخته شده از دسته مواد سیلیسی زیست سازگار بوده و از کارایی جذبی مناسبی برخوردار است لذا به منظور مطالعات آتی در حذف سزیم توصیه می‌شود.

مراجع

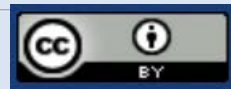
1. M. Laraia, L.V. Velzen, *Radioactive contamination and other environmental impacts of waste from nuclear and conventional power plants, medical and other industrial sources*, (*Woodhead Publishing Series in Energy*), 35-56 (2015).
2. Y.J. Gwon, et al., *Prussian blue decoration on polyacrylonitrile nanofibers using polydopamine for effective Cs ion removal*, *J. Industrial & Engineering Chemistry Research*, **59(11)**, 4872 (2020).
3. A.M.S. El-Din, T. Monir, M.A. Sayed, *Nano-sized Prussian blue immobilized costless agro-industrial waste for the removal of cesium-137 ions*, *J. Environmental Science and Pollution Research*, **26(25)**, 25550 (2019).
4. H.M. Yang, et al., *Hollow flower-like titanium ferrocyanide structure for the highly efficient removal of radioactive cesium from water*, *J. Chemical Engineering Journal*, **392**, 123713 (2020).
5. J. Wang, Sh. Zhuang, Y. liu, *Metal hexacyanoferrates-based adsorbents for cesium removal*, *J. Coordination Chemistry Reviews*, **374**, 430 (2018).
6. E. Calabrese, *Improving the scientific foundations for estimating health risks from the Fukushima incident*, *J. PANS*, **108(49)**, 19447 (2011).



32. Z.A. Alothman, A Review: Fundamental Aspects of Silicate Mesoporous Materials, *J. Materials*, **5**, 2874 (2012).
33. K.D. Kowanga, et al., Kinetic, sorption isotherms, pseudo-first-order model and pseudo-second-order model studies of Cu(II) and Pb(II) using defatted *Moringa oleifera* seed powder, *J. Journal of Phytopharmacology*, **5**(2), 71 (2016).
34. U.A. Edet, A.O. Ifelebuegu, Kinetics, Isotherms, and Thermodynamic Modeling of the Adsorption of Phosphates from Model Wastewater Using Recycled Brick Waste, *J. Processes*, **8**, 665 (2020).
35. G. Blanchard, M. Maunaye, G. Martin, Removal of heavy metals from waters by means of natural zeolites, *J. Water Research*, **18**, 1501 (1984).
36. Y.S. Ho, G. McKey, Pseudo-second order model for sorption processes, *J. Process Biochemistry*, **34**, 451 (1998).
37. J. Wang, X. Guo, Adsorption isotherm models: Classification, physical meaning, application and solving method, *J. Chemosphere*, **258**, 127279 (2020).
38. C. Delchet, et al, Extraction of radioactive cesium using innovative functionalized porous materials, *J. RSC Advances*, **2**, 5707 (2012).
39. H. Zhang, et al, Sorption behavior of cesium from aqueous solution on magnetic hexacyanoferrate materials, *J. Nuclear Engineering and Design*, **275**, 322 (2014).
40. T. Sasaki, Sh.Tanaka, Magnetic separation of cesium ion using Prussian blue modified magnetite, *J. Chemistry Letters*, **41**, 32 (2012).
41. C. Loos-Neskovic, et al, Zinc and nickel ferrocyanides: preparation, Composition and Structure, **31**, 1133 (1984).
42. T. Sangvanich, et al, Selective capture of cesium and thallium from natural waters and simulated wastes with copper ferrocyanide functionalized mesoporous silica, *J. Journal of Hazardous Materials*, **182**, 225 (2010).
43. H. Aghayan, et al, Studies on the adsorption behavior of uranium onto a synthesized hybrid material based on the spherical SBA-15 and tin tungstomolybdochosphate, *J. Journal of Nuclear Science and Technology*, **40**, 72 (2019), (In Persian).
22. H. Fakhri, A.R. Mahjoub, H. Aghayan, Effective adsorption of Co^{2+} and Sr^{2+} ions by 10-tungsten-2-molybdochosphoric acid supported amine modified magnetic SBA-15, *J. Journal of Radioanalytical and Nuclear Chemistry*, (2019), doi.org/10.1007/s10967-019-06595-6.
23. H. Aghayan, A.R. Khanchi, A.R. Mahjoub, Synthesis and characterization of cesium molybdo vanado phosphate immobilized on platelet SBA-15: An efficient inorganic compositeion-exchanger for gadolinium ion sorption, *J. Applied Surface Science*, **274**, 7 (2013).
24. H. Aghayan, et al, Tungsten substituted molybdochosphoric acid loaded on various types of mesoporous silica SBA-15 for application of thorium ion adsorption, *J. Journal of Nuclear Materials* (2017), doi: 10.1016/j.jnucmat.2017.09.009.
25. R. Saberi, et al, Adsorption characteristic of ^{137}Cs from aqueous solution using PAN-based sodium titanasilicate composite, *J. Radioanalytical and Nuclear Chemistry*, **284**(2), 461 (2010).
26. R.R. Sheha, Synthesis and characterization of mangnetic hexacyanoferrate (II) polymeric nanocomposite for separation of cesium from radioactive waste solution, *J. Colloid and Interface Science*, **388** (1), 21 (2012).
27. G. Naidu, et al., Rubidium extraction using an organic polymer encapsulated potassium copper hexacyanoferrate sorbent, *J. Chemical Engeeniring Journal*, **306**, 31 (2016).
28. A. Nilchi, et al., Adsorption of cesium on copper hexacyanoferrate- PAN composite ion exchanger from aqueous solution, *J. Chemical Engineering Journal*, **172** (1), 572 (2011).
29. S. Vashina, et al., Zinc hexacyanoferrate loaded mesoporous MCM-41 as a new adsorbent for cesium: equilibrium, kinetic and thermodynamic studies, *J. Desalination and Water Treatment*, **55**, 1220 (2015).
30. S. Mohammadi, H. Faghihian, Elimination of Cs^+ from aquatic systems by an adsorbent prepared by immobilization of potassium copper hexacyanoferrate on the SBA-15 surface: kinetic, thermodynamic, and isotherm studies, *J. Environmental Science and Pollution Research*, **26**, 12055 (2019).
31. C.L. Neskovic, et al, Structure of copper-potassium hexacyanoferrate (II) and sorption mechanisms of cesium, *J. Journal of Solid State Chemistry*, **177**, 1817 (2004).

COPYRIGHTS

©2021 The author(s). This is an open access article distributed under the terms of the Creative Commons Attribution (CC BY 4.0), which permits unrestricted use, distribution, and reproduction in any medium, as long as the original authors and source are cited. No permission is required from the authors or the publishers.



استناد به این مقاله

شنبه امین، سیدابوالحسن علوی، حسن یوسف نیا، حسن آقایان (۱۴۰۱)، اصلاح لایه به لایه سطح مزوحفره سیلیکائی SBA-15 به وسیله ترکیب پتانسیم مس هگراسیانوفرات و بررسی رفتار جذب سزیم توسط آن، *J. Journal of Nuclear Science and Technology*, **101**, 1-19 (In Persian).

DOI: [10.24200/nst.2022.1443](https://doi.org/10.24200/nst.2022.1443)Url: https://jonsat.nstri.ir/article_1443.html